

s názvem

"Snižování zátěže povrchových vod zdroji plošného zemědělského znečištění při uplatnění regulace drenážního odtoku na stávajících stavbách zemědělského odvodnění".

workshop

Drenáže na zemědělské půdě – provoz, údržba, modernizace.
Způsoby ovlivňování množství a jakosti drenážních vod

Dynamika hladiny podzemní vody ovlivněná drény v regulovaném procesu závlah

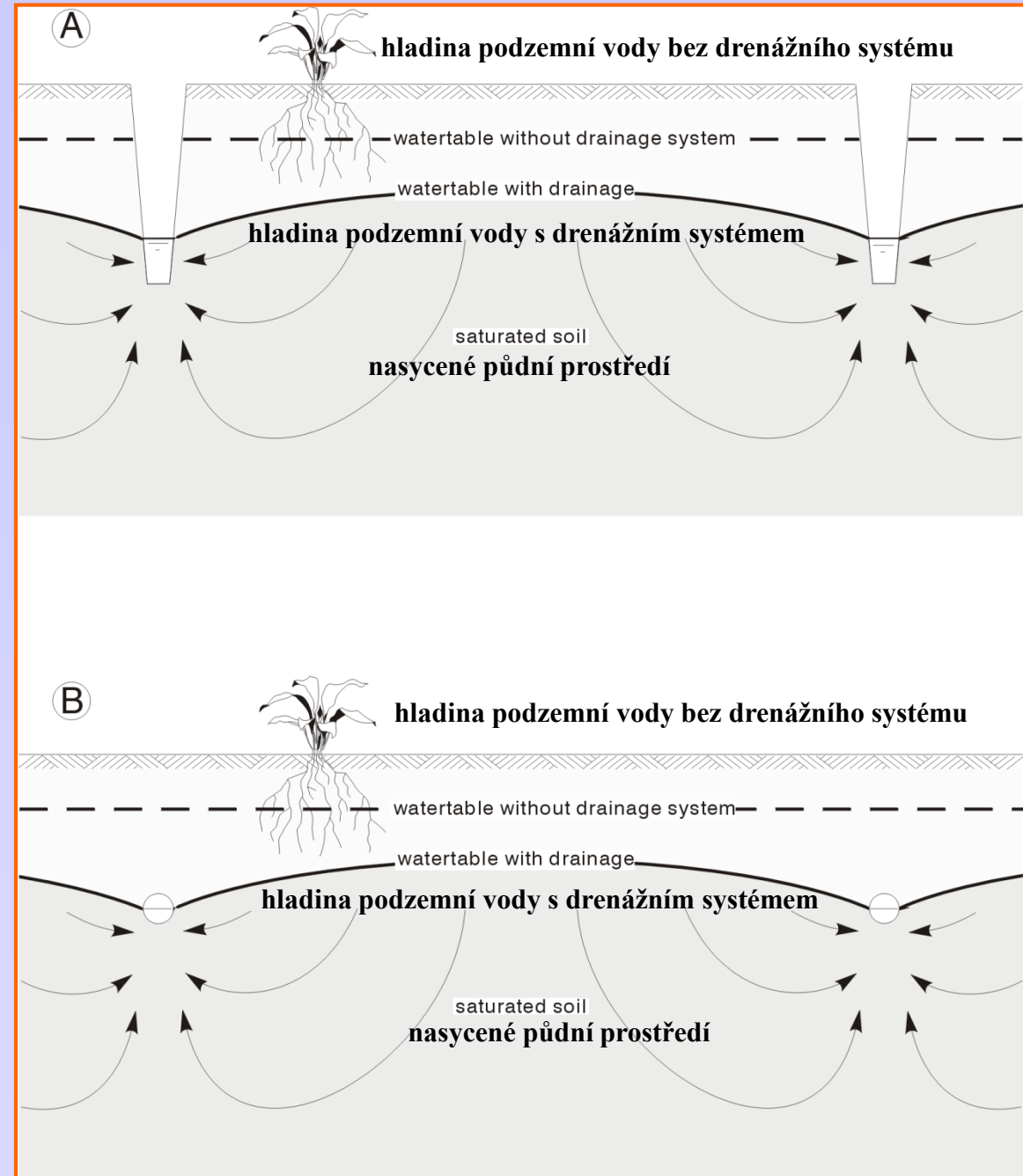
Návrhy a simulace byly vytvářeny s využitím
podkladů z lokalit Židlochovice, Kostice, Mikulčice
(okres Břeclav)

Doc. Ing. Jakub Štibinger CSc.

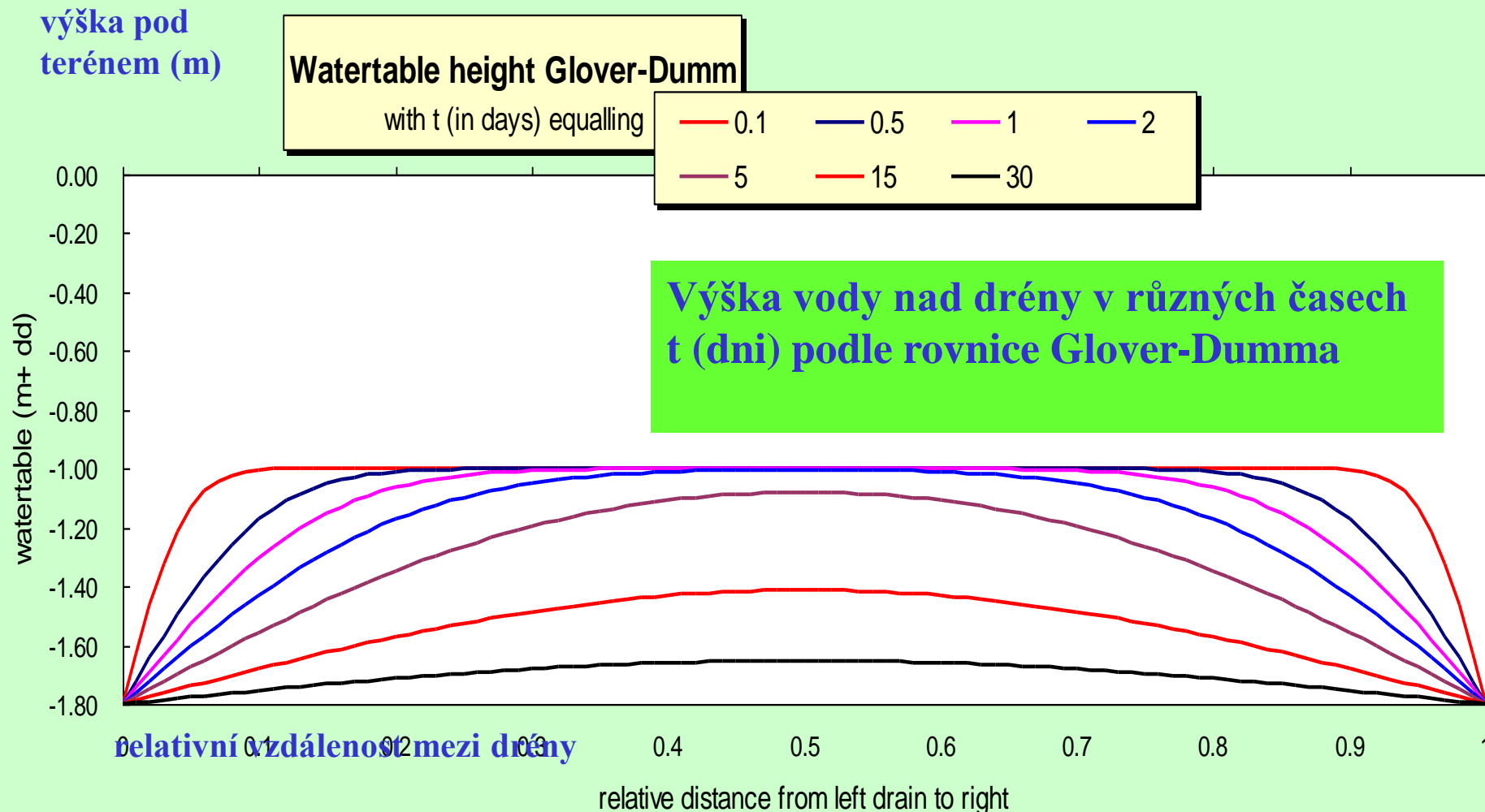
Česká zemědělská universita v Praze

Dynamika hladiny při odvodňování – ustálený proces

Drenážní příkopy (A)
a
drenážní potrubí (B)



Příklad dynamiky hladiny vody nad drény v procesu neustáleného (nestacionárního) drenážního proudění

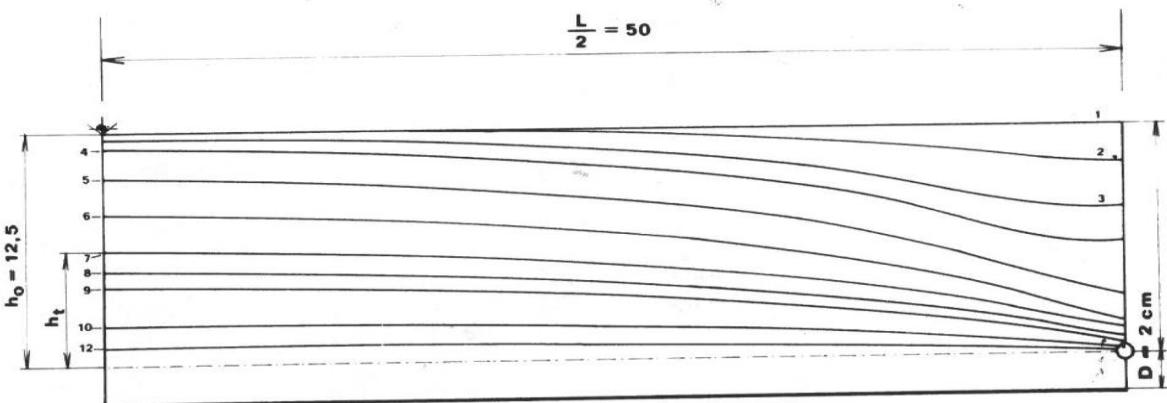


Radčenka

Výška vody nad drény v různých časech t (dny) podle rovnice I. Radčenka;

$$v_o = 625 \quad \frac{D}{L} = 0,02 \quad \frac{h_o}{L} = 0,125 \quad \frac{l_d}{L} = 0,01 \quad 12$$

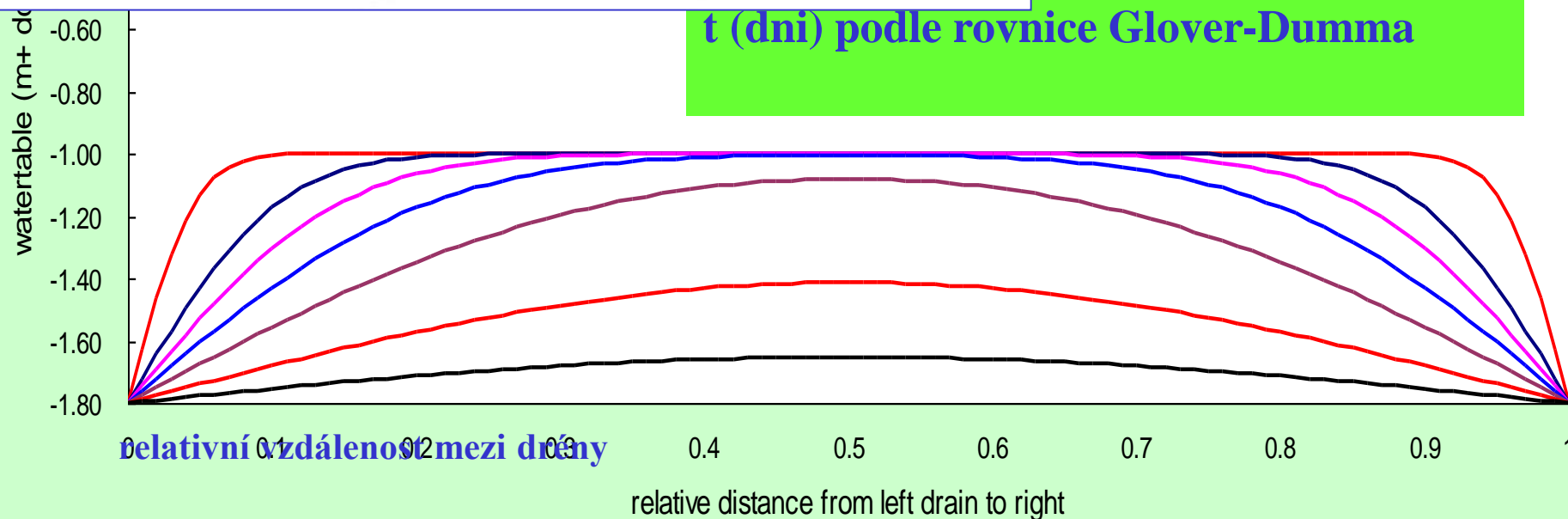
$$\frac{L}{2} = 50$$

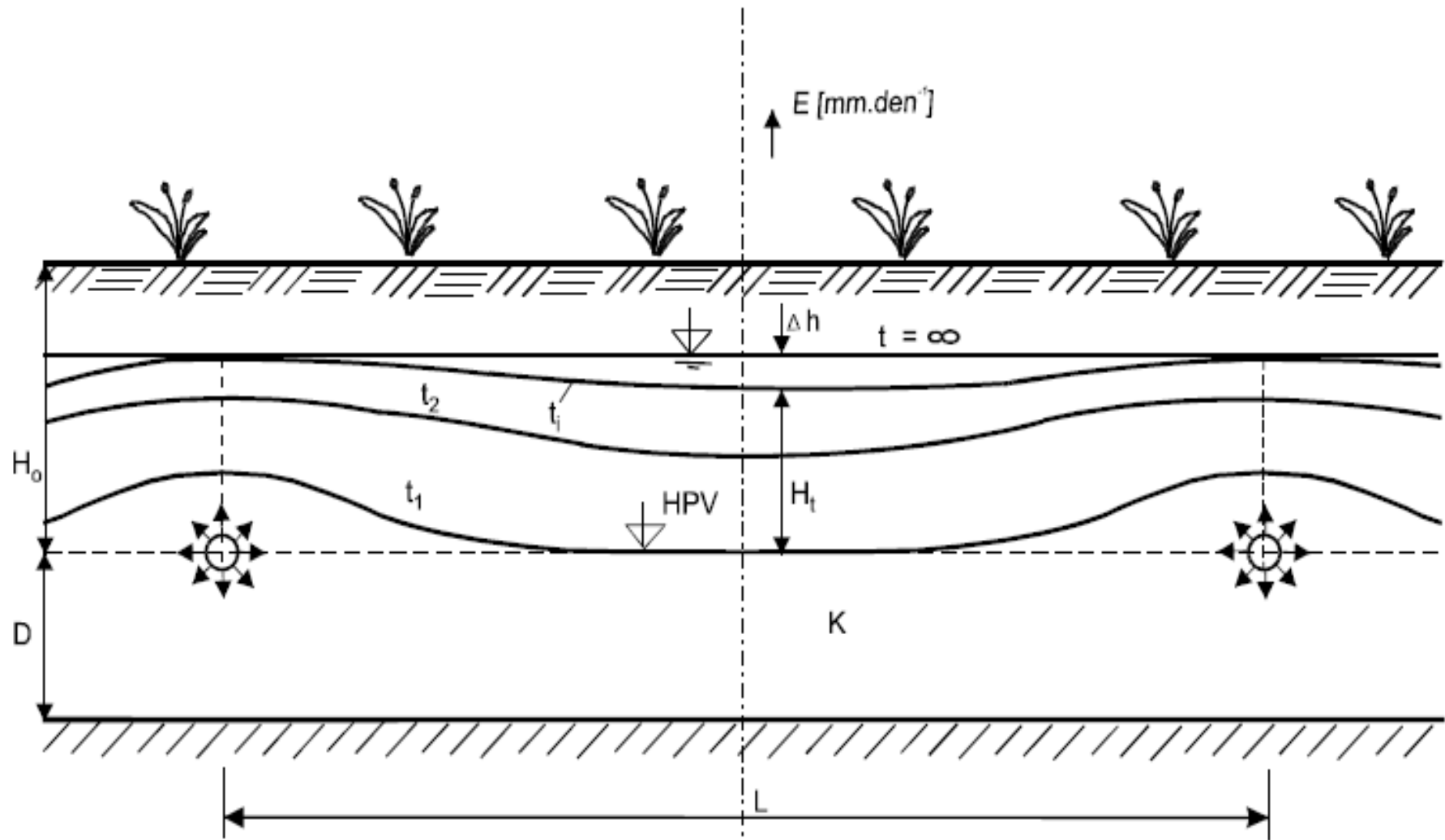


Hydraulický kontinuální analog Hele-Shaw;

SAV Bratislava 1971
(Wageningen, Novi Sad)

drény v různých časech
 t (dny) podle rovnice Glover-Dumma

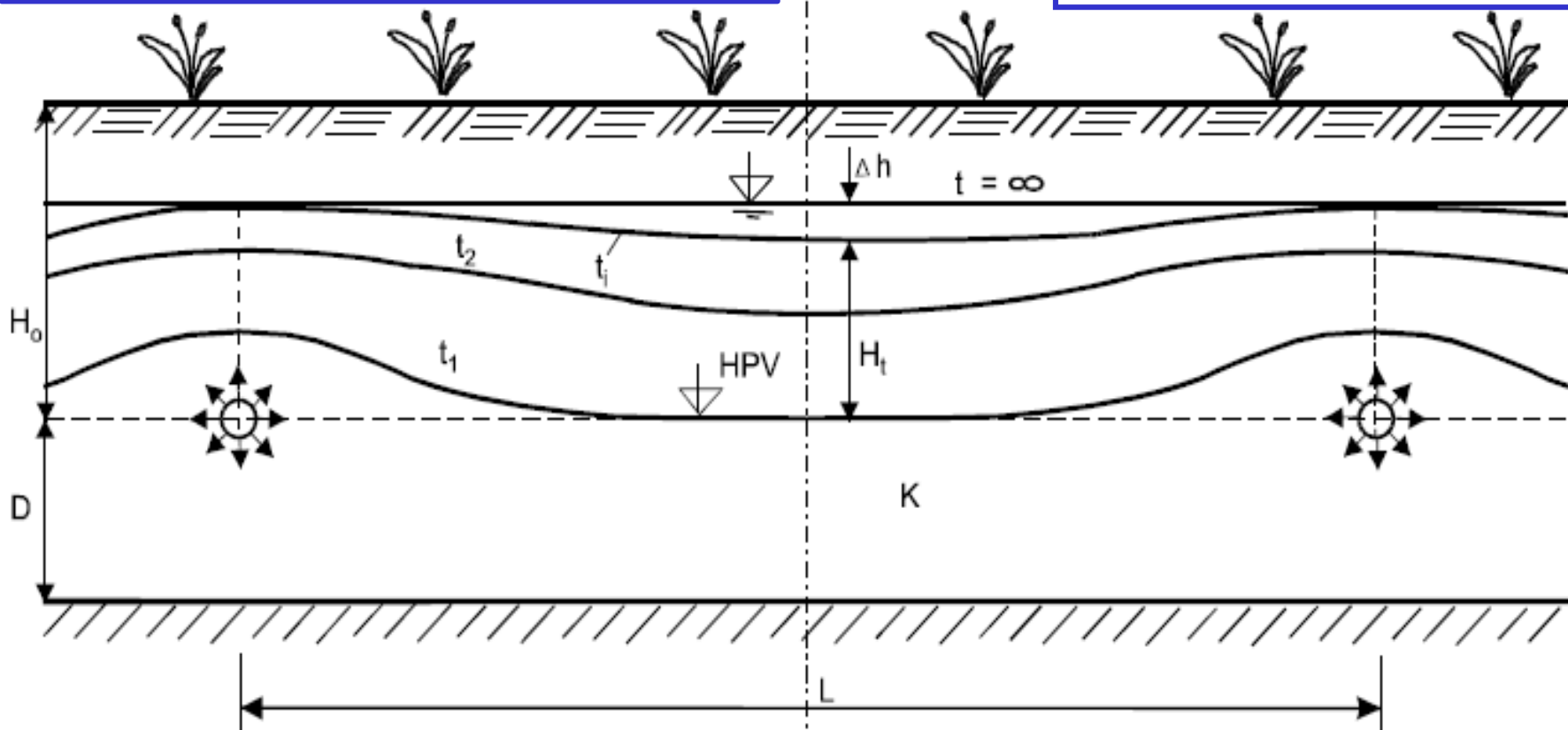




- | | | | |
|-----|--|-----------------------------|---|
| E | - evapotranspirace [mm.d ⁻¹] | $t_1, t_2, t_i, t_{\infty}$ | - úrovně hladin v odpovídajících časech |
| D | - hloubka uložení nepropustné vrstvy | h_t | - dosažená úroveň HPV v čase t |
| K | - nasycená hydraulická vodivost | L, H_0 | - rozchod a úroveň uložení drénu |
| HPV | - hladina podzemní vody | \rightarrow | - přítok závlahové vody |

Obr. 2 Schéma regulační drenáže při závlahové fázi.

$$h_t = h_o \exp \left[-\alpha \left(\frac{kt}{\mu BL} \right)^\beta \right]$$

E - evapotranspirace [mm.d^{-1}]

D - hloubka uložení nepropustné vrstvy

K - nasycená hydraulická vodivost

HPV - hladina podzemní vody

 t_1, t_2, t_i, t_∞ h_t L, H_0 

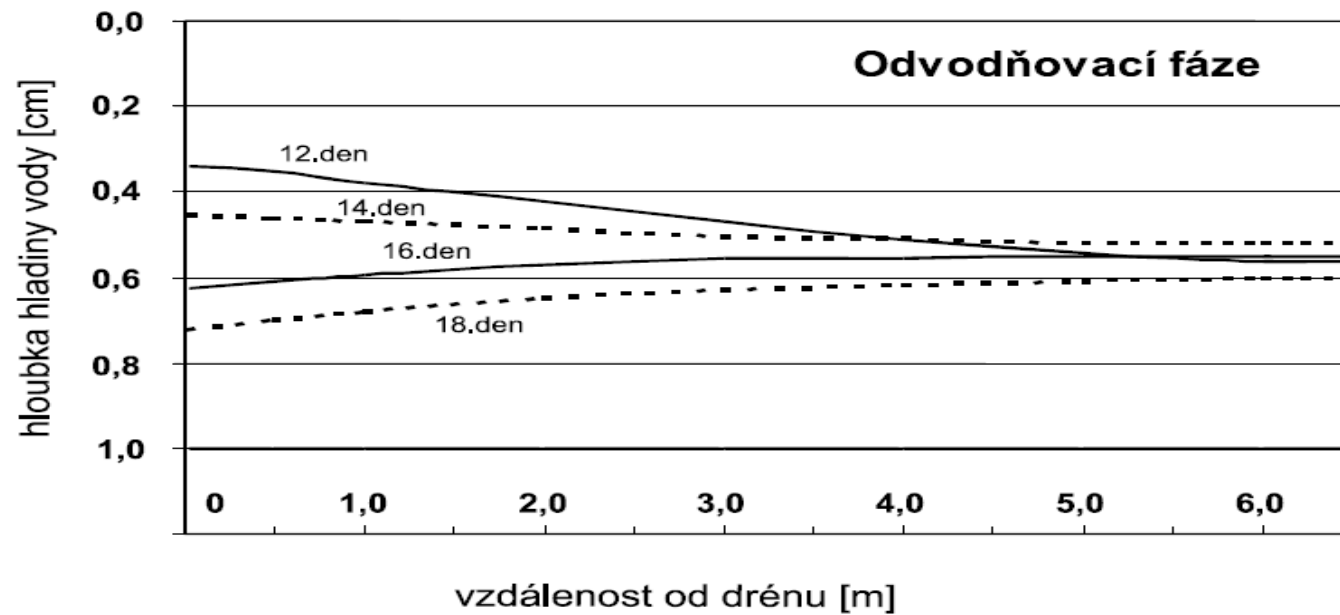
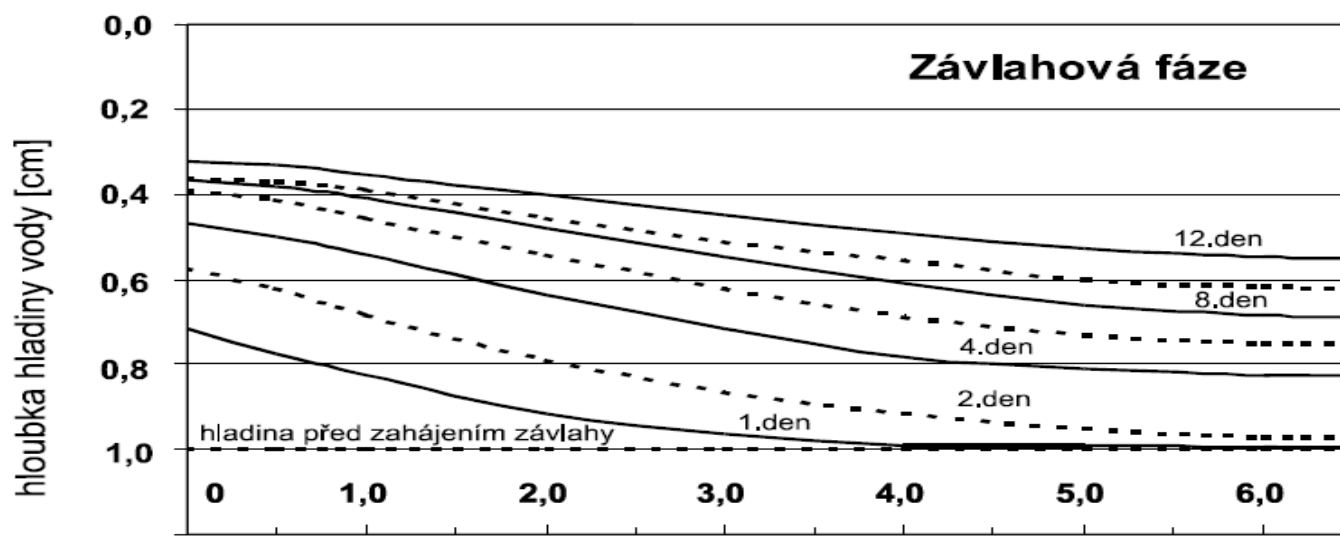
- úrovně hladin v odpovídajících časech

- dosažená úroveň HPV v čase t

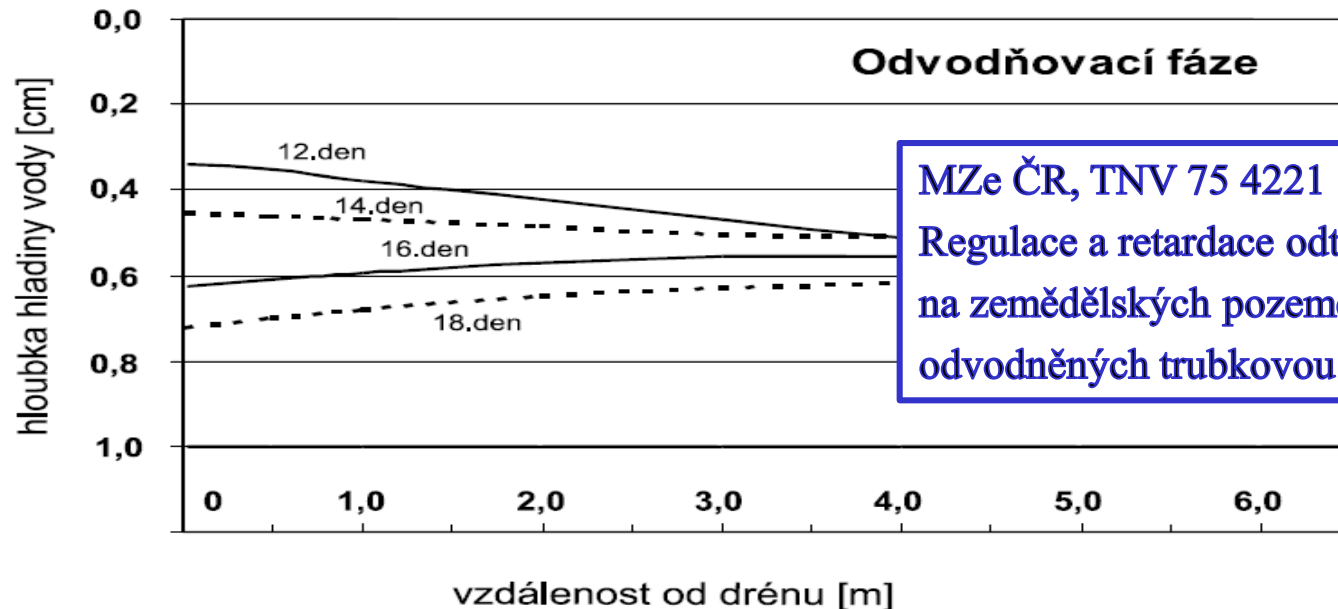
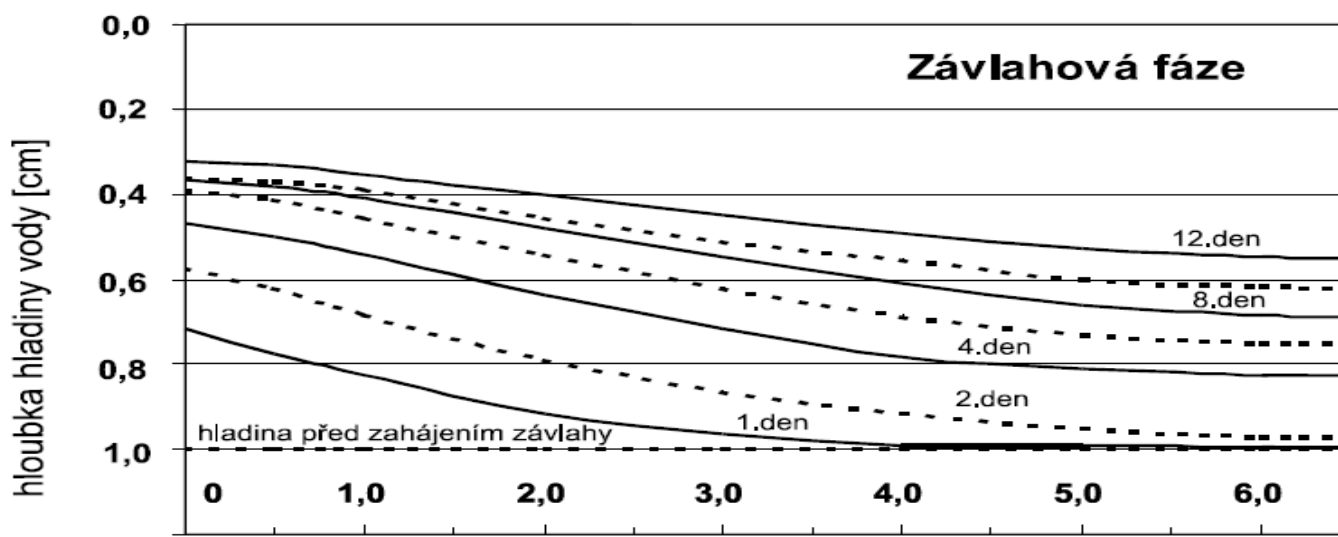
- rozchod a úroveň uložení drénu

- přítok závlahové vody

Obr. 2 Schéma regulační drenáže při závlahové fázi.



Obr. 3 Polohy hladiny podzemní vody ve dnech při provozu regulační drenáže.
Fáze závlahová (nahore) a odvodňovací fáze (dole).

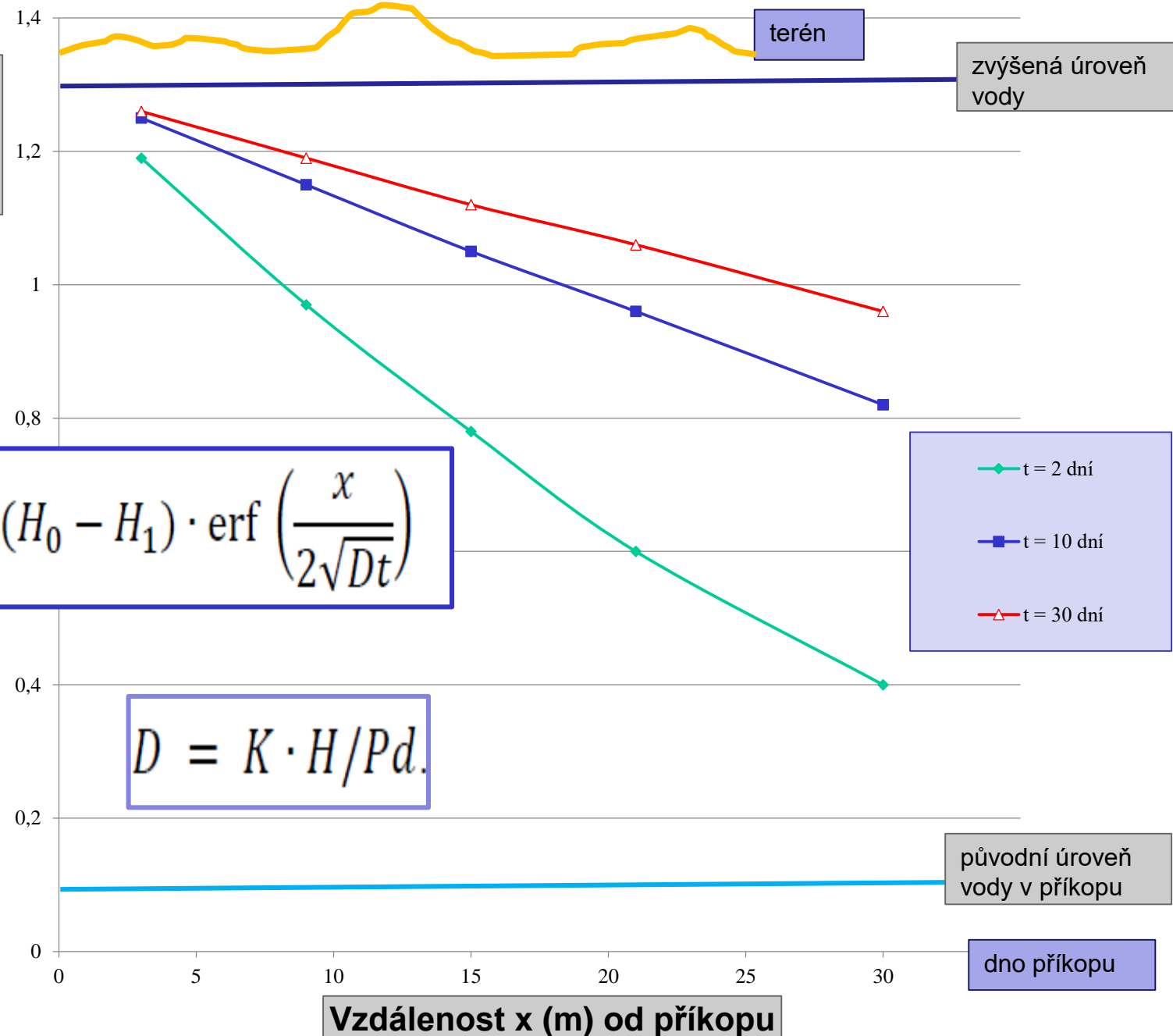


MZe ČR, TNV 75 4221
Regulace a retardace odtoku
na zemědělských pozemcích
odvodněných trubkovou drenáží

Obr. 3 Polohy hladiny podzemní vody ve dnech při provozu regulační drenáže.
Fáze závlahová (nahore) a odvodňovací fáze (dole).

Rekultivace mokřadu (rašeliniště) na "Brazilce"; Lužické hory, ČR

Výška $h(x,t)$ ode dna příkopu ve vzdálenosti x (m) a v čas t (dny)



The relationship between irrigation and drainage is illustrated in Figure 14.10, which shows the schematic watertable elevation with steady-state infiltration, for which an 'inverse drainage' formula can be derived (Hooghoudt 1940)

$$q = \frac{8K_b d(n - h) + 4K_t(n^2 - h^2)}{L^2}$$

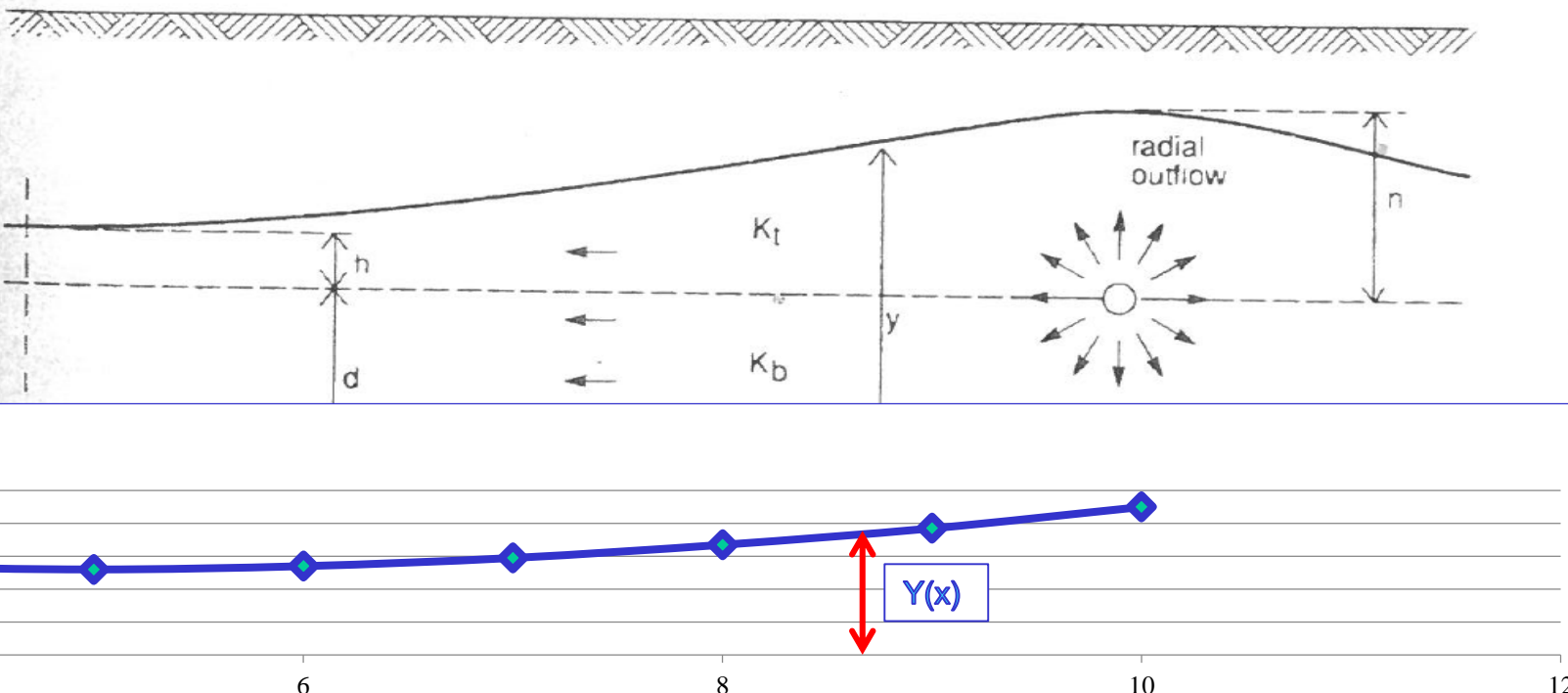
where

q = water supply rate by infiltration (m/d)

K_t = saturated hydraulic conductivity above drain level (m/d)

K_b = saturated hydraulic conductivity below drain level (m/d)

d = equivalent depth (m)



The relationship between irrigation and drainage is illustrated in Figure 14.10, which shows the schematic watertable elevation with steady-state infiltration, for which an 'inverse drainage' formula can be derived (Hooghoudt 1940)

$$q = \frac{8K_b d(n - h) + 4K_t(n^2 - h^2)}{L^2}$$

where

q = water supply rate by infiltration

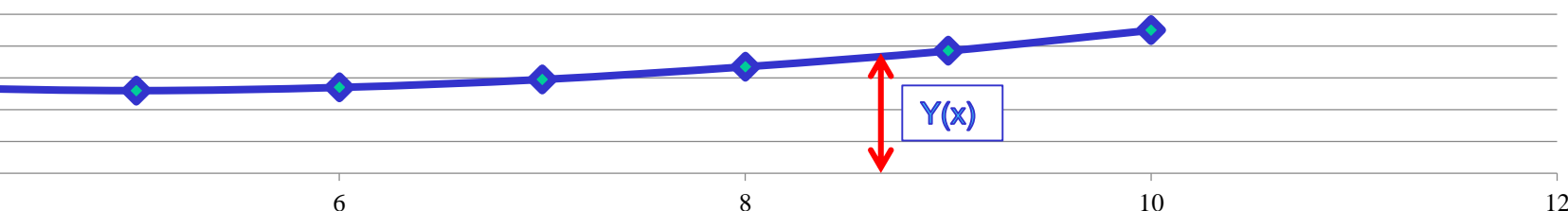
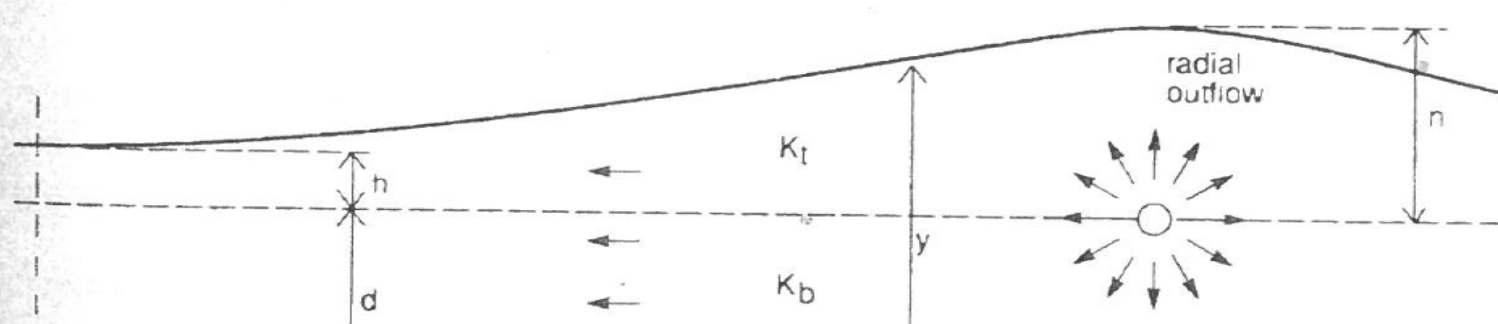
K_t = saturated hydraulic conductivity above drain level (m/d)

K_b = saturated hydraulic conductivity below drain level (m/d)

d = equivalent depth (m)

Rovnici byla odvozena S. B.
Hooghoudtem (Ritzema 2006)
a v této formě lze explicitně
vyjádřit E (q) a L ; ne však n ,
ani h

$$Y(x) = \sqrt{\frac{Et}{K} X^2 - \frac{Et}{K} L \cdot X + (d + n)^2 - d}$$

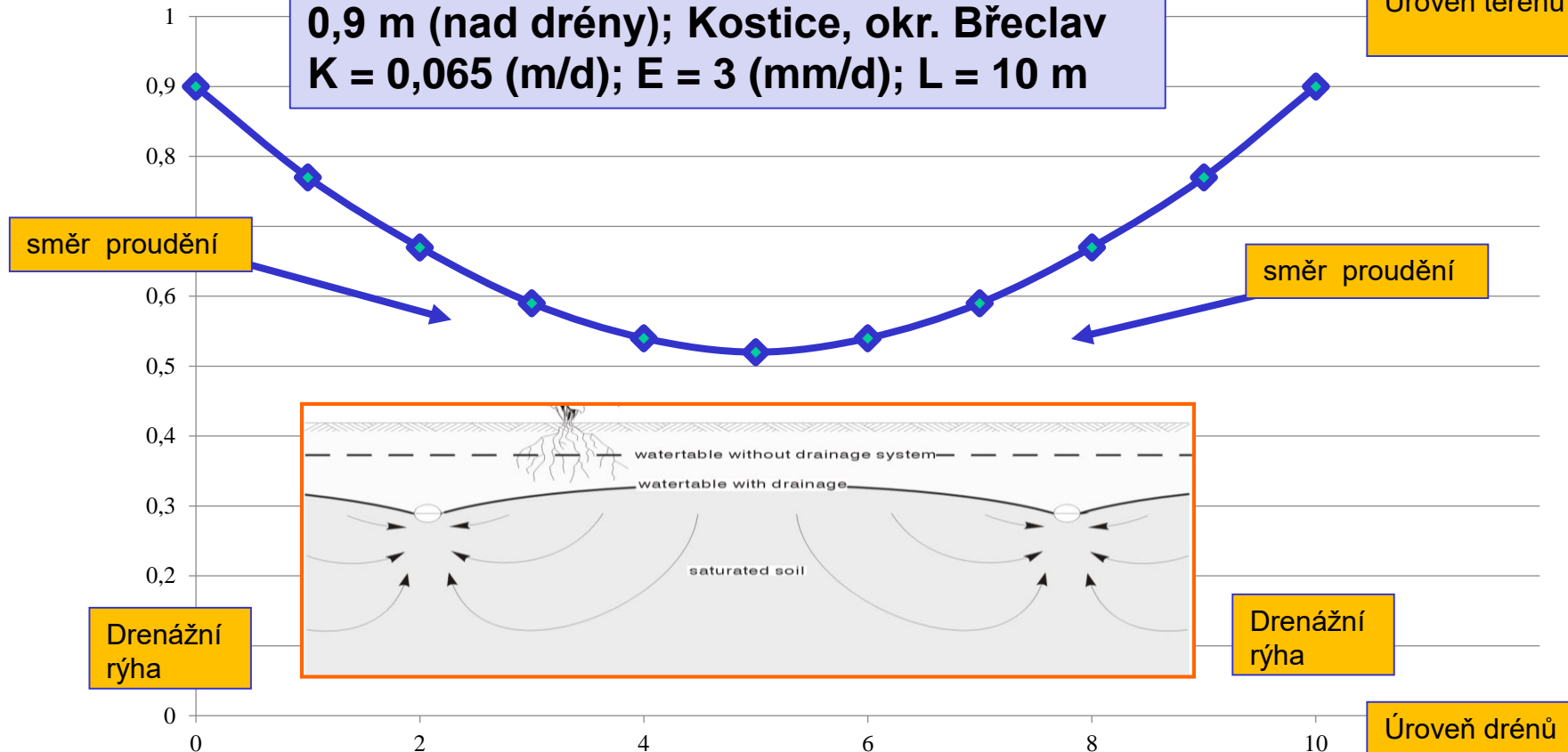


Hladina vody nad drény při řízené regulaci - proces závlah

Hladina nad
drény (m)

$$Y(x) = \sqrt{\frac{Et}{K} X^2 - \frac{Et}{K} L X + (d+n)^2 - d}$$

Řízeně regulovaná hladina:
0,9 m (nad drény); Kostice, okr. Břeclav
 $K = 0,065 \text{ (m/d)}$; $E = 3 \text{ (mm/d)}$; $L = 10 \text{ m}$



Vzdálenost od drenážní rýhy (m), $L = 10 \text{ m}$

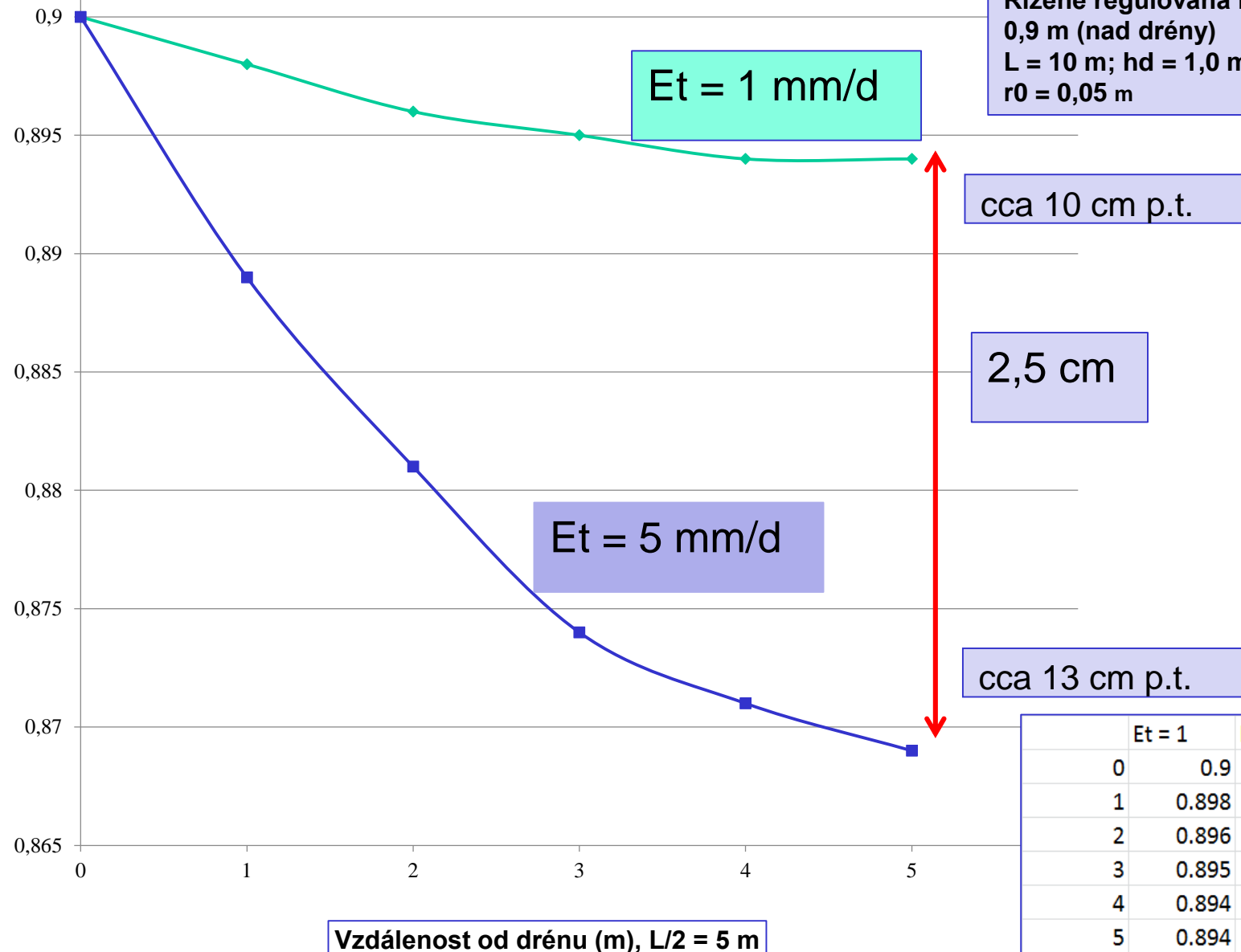
Hladina
nad drény (m)

Úroveň hladiny nad drény

Návrh regulační drenáže - Židlochovice

Velmi propustné půdy;
 $K=1,2 \text{ [m/d]} = 1,4 \cdot 10^{-5} \text{ [m/s]}$

Řízeně regulovaná hladina:
0,9 m (nad drény)
 $L = 10 \text{ m}$; $hd = 1,0 \text{ m}$;
 $r_0 = 0,05 \text{ m}$



Úroveň hladiny nad drény - Návrh regulační drenáže – Lokalita: Kostice (okres Břeclav, Jihomoravský kraj)

Hladina
nad drény (m)

Spíše méně
propustné
půdy;
 $K=0,065$
 $[m/d] =$
 $7,5 \cdot 10^{-7} [m/s]$

Řízeně
regulovaná
hladina:
0,9 m
(nad drény)

$L = 10 \text{ m}$;
 $hd = 1,0 \text{ m}$;
 $r_0 = 0,05 \text{ m}$

Úroveň terénu

$Et = 1 \text{ mm/d}$

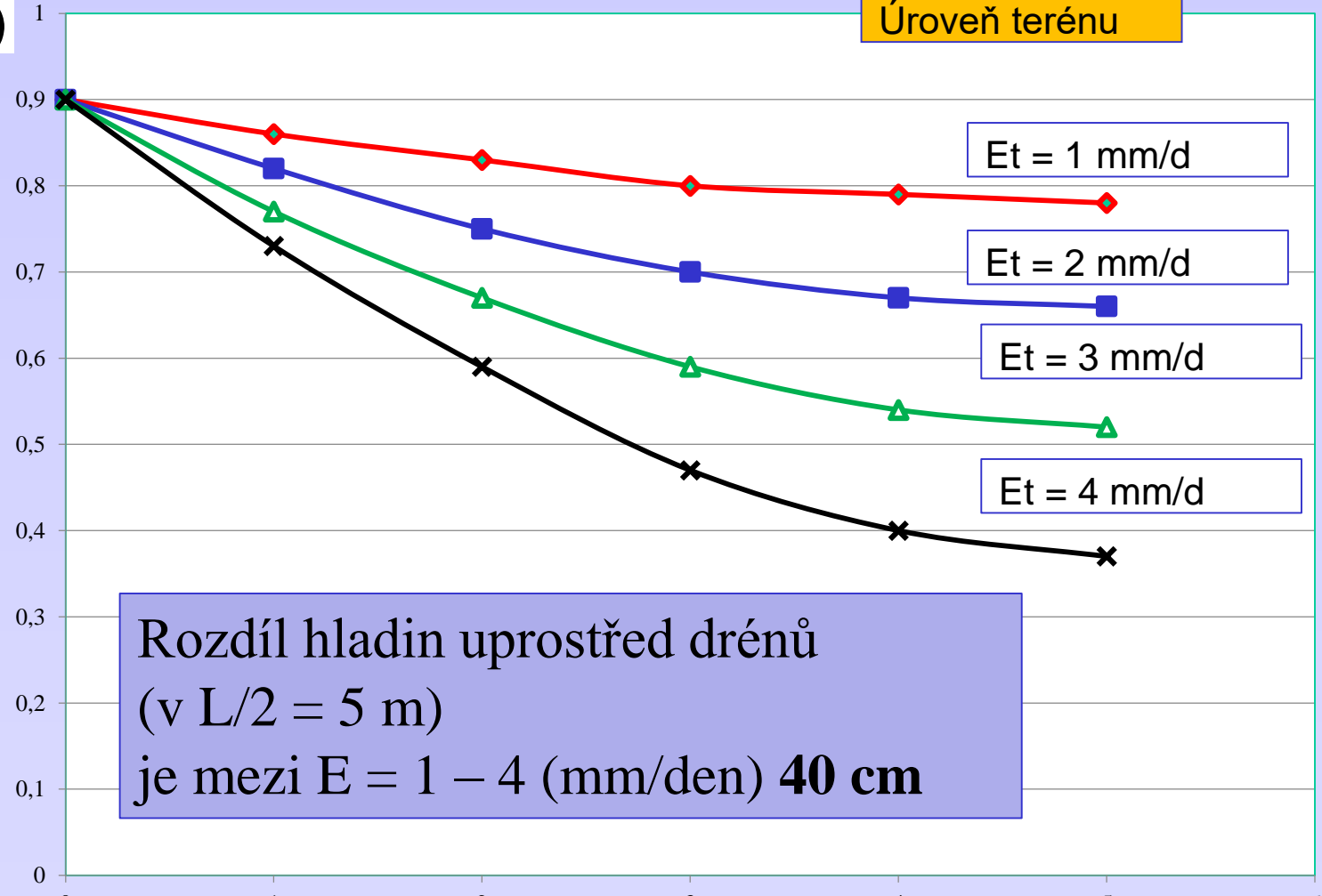
$Et = 2 \text{ mm/d}$

$Et = 3 \text{ mm/d}$

$Et = 4 \text{ mm/d}$

Rozdíl hladin uprostřed drénů
(v $L/2 = 5 \text{ m}$)
je mezi $E = 1 - 4 \text{ (mm/den)}$ **40 cm**

Vzdálenost od drénu (m), $L/2 = 5 \text{ m}$



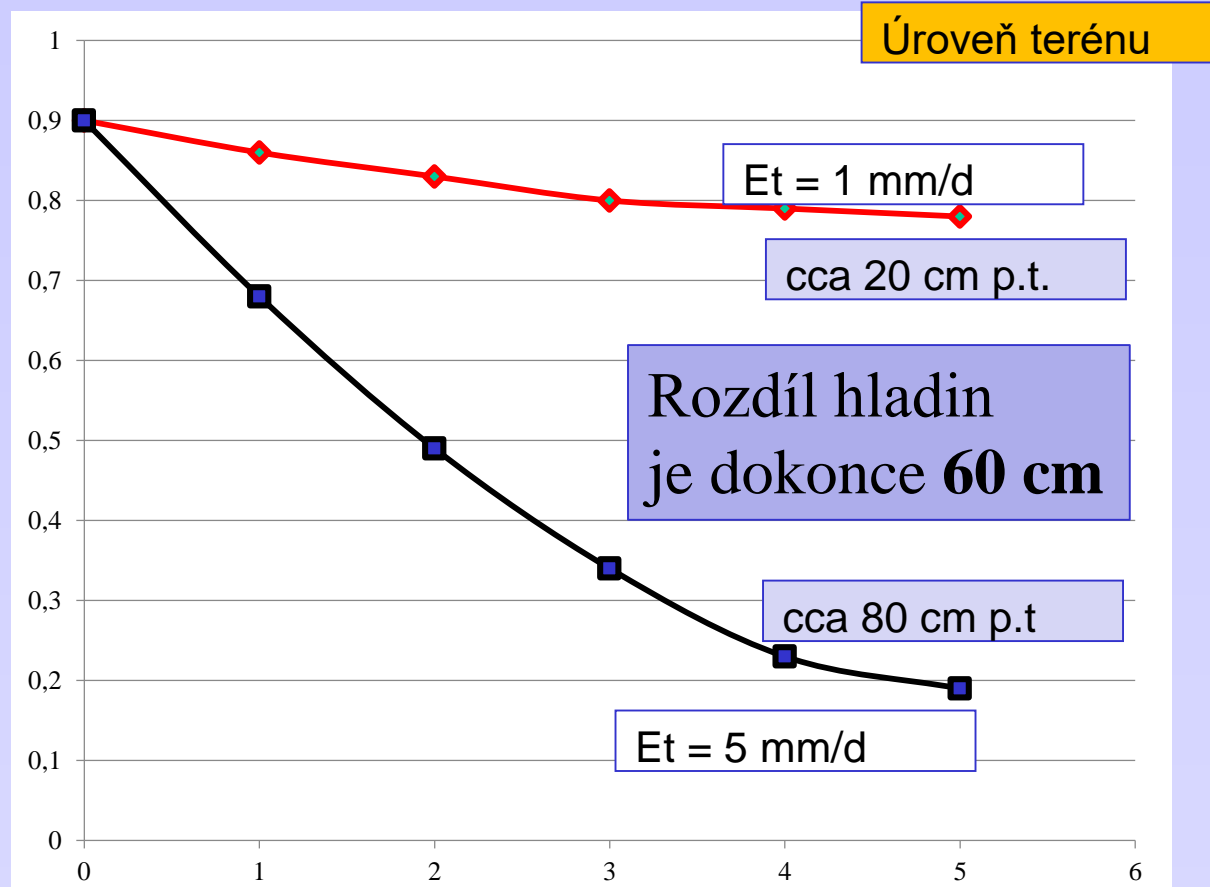
Úroveň hladiny nad drény - Návrh regulační drenáže – Lokalita: Kostice

Hladina
nad drény (m)

Spíše méně
propustné
půdy;
 $K=0,065$
 $[m/d] =$
 $7,5 \cdot 10^{-7} [m/s]$

Řízeně
regulovaná
hladina:
0,9 m
(nad drény)

$L = 10 \text{ m};$
 $hd = 1,0 \text{ m};$
 $r_0 = 0,05 \text{ m}$



Vzdálenost od drénu (m), $L/2 = 5 \text{ m}$



**Zemědělské půdy; obec Kostice (okres Břeclav)
bezprostředně po jarním tání (2013)**

Dynamika hladiny podzemní vody ovlivněná řízenou regulací volné hladiny v příkopovém systému (závlahy – odvodnění)

Obec Mikulčice, okres Břeclav



Příkopový systém s regulovatelnou volnou hladinou pomocí pohyblivých stavítek (Mikulčice, okres Břeclav)

Závěr

Pokusit se ověřit zmiňované simulace v terénu; např. na zemědělské lokalitě Uherčice s regulační drenáží ve vhodných podmínkách

Vážení přítomní,
dámy a pánové,
vážení hosté,
děkuji Vám za
pozornost

